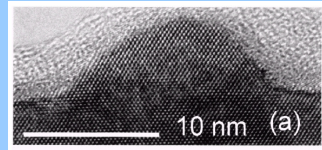


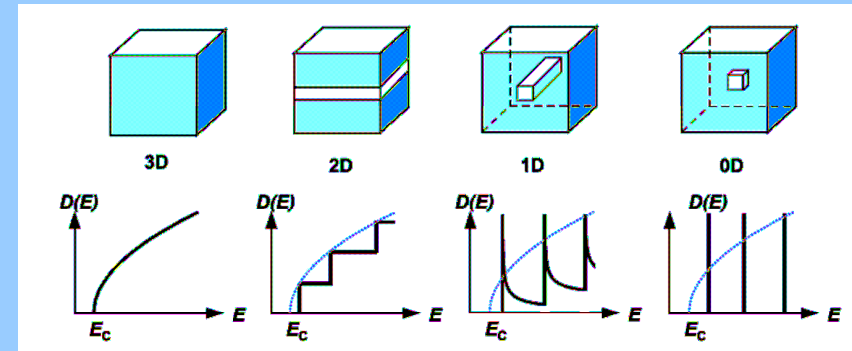


Kropki kwantowe - część I otrzymywanie

Sebastian Maćkowski
Instytut Fizyki
Uniwersytet Mikołaja Kopernika



Co to jest kropka kwantowa?

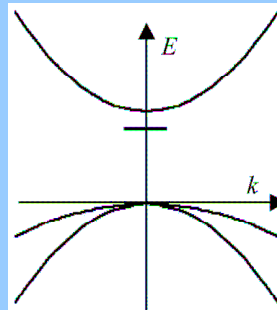


Co to jest ekscyton?

$$\left(-\frac{\hbar^2}{2m^*} \Delta - \frac{e^2}{4\pi\epsilon_0\epsilon_s r} \right) \Phi_n(\mathbf{r}) = E \Phi_n(\mathbf{r})$$

$$E_n = -\frac{R^*}{n^2}; \quad n = 1, 2, \dots;$$

$$R^* = 13.6eV \frac{m^*}{\epsilon_s^2}; \quad m^* = \frac{m_e m_h}{m_e + m_h};$$

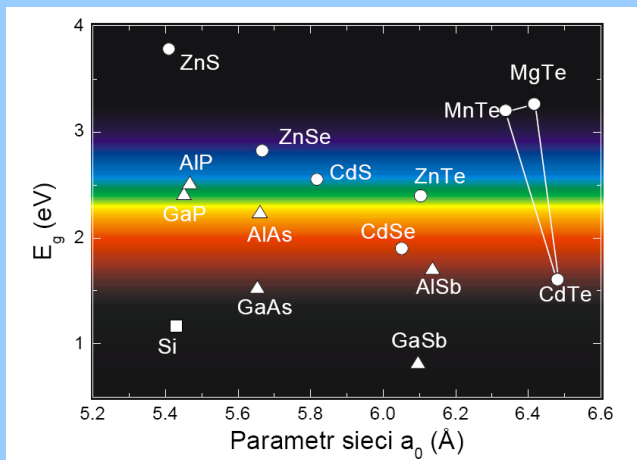


Co to jest ekscyton?

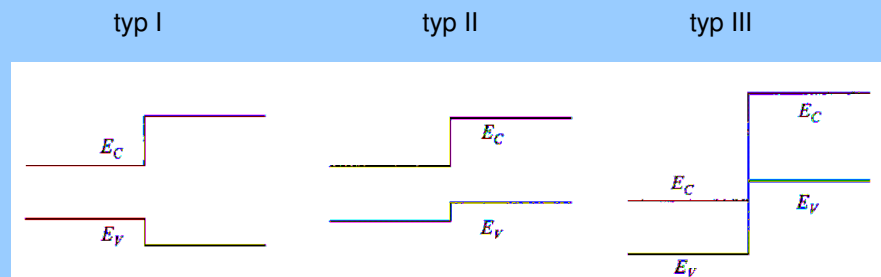
Material	m_c^*	m_h^*	ϵ_r	E_{ex} [meV]	r_{ex} [nm]
BN	0,752	0,38	5,1	131	1,1
GaN	0,20	0,80	9,3	25,2	3,1
InN	0,12	0,50	9,3	15,2	5,1
GaAs	0,063	0,50	13,2	4,4	12,5
InP	0,079	0,60	12,6	6,0	9,5
GaSb	0,041	0,28	15,7	2,0	23,2
GaP					
InAs	0,024	0,41	15,2	1,3	35,5
InSb	0,014	0,42	17,3	0,6	67,5
ZnS	0,34	1,76	8,9	49,0	1,7
ZnO	0,28	0,59	7,8	42,5	2,2
ZnSe	0,16	0,78	7,1	35,9	2,8
CdS	0,21	0,68	9,4	24,7	3,1
ZnTe	0,12	0,6	8,7	18,0	4,6
CdSe	0,11	0,45	10,2	11,6	6,1
CdTe	0,096	0,63	10,2	10,9	6,5
HgTe	0,031	0,32	21,0	0,87	39,3



Heterozłącze

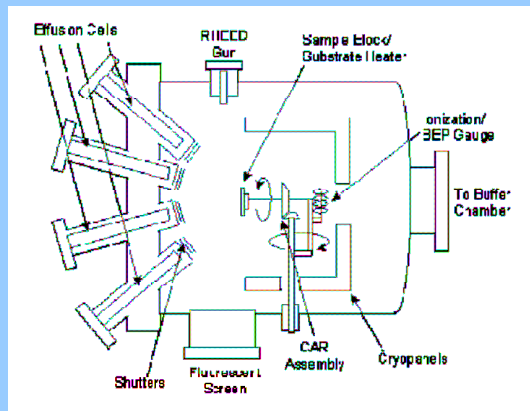


Heterozłącze

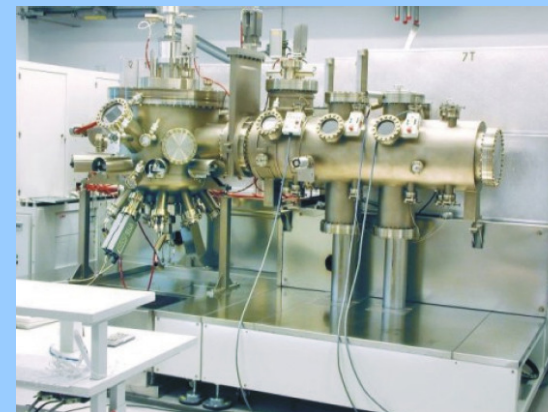


MBE

epitaksja z wiązek molekularnych (MBE)



MBE





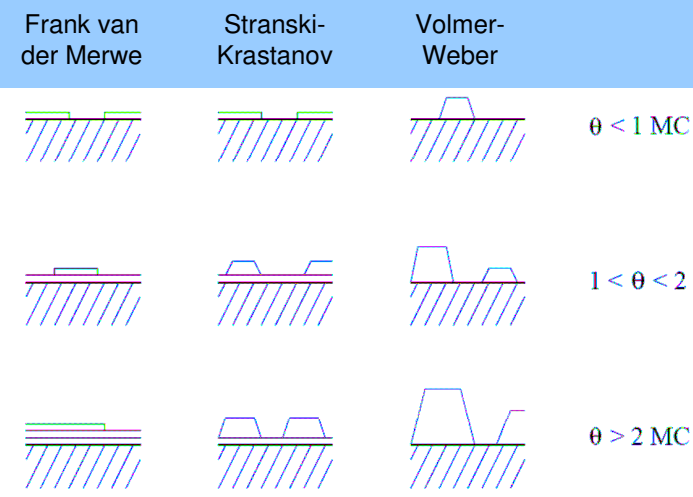
Możliwości MBE

- wytwarzanie struktur wielowarstwowych złożonych ze związków o różnych strukturach elektronowych, np. GaAs – AlGaAs (band-gap engineering = inżynieria przerwy energetycznej)
- wysoki stopień czystości chemicznej osadzanych warstw
- dobra kontrola ostrości interfejsu (zmiana składu możliwa w jednej warstwie atomowej), możliwość otrzymywania pojedynczej warstwy atomowej (1 ML = 1 monolayer)
- otrzymywanie supersieci (np. GaAs-AlGaAs-GaAs- itd.) o okresie od kilku Å.
- szerokie zakresy domieszkania, np. dla (Al)GaAs, często w zakresie niedostępnym przy wykorzystaniu klasycznych metod wzrostu

SL 2008/2009



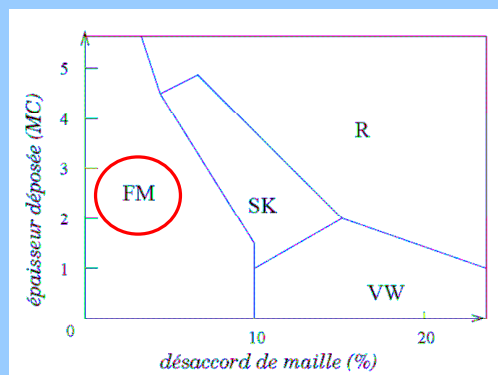
Mody wzrostu



SL 2008/2009



Diagram fazowy



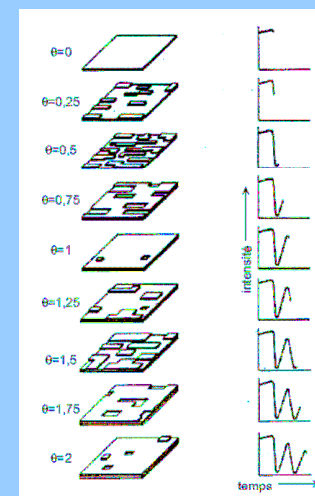
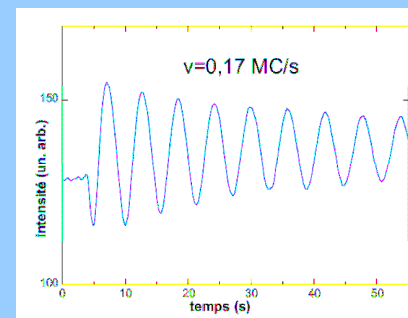
tak powstają studnie kwantowe

SL 2008/2009



Oscylacje RHEED

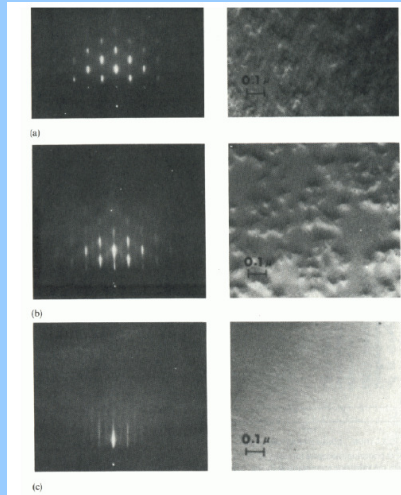
oscylacje natężenia pozwalają określić szybkość wzrostu



SL 2008/2009



Obraz RHEED



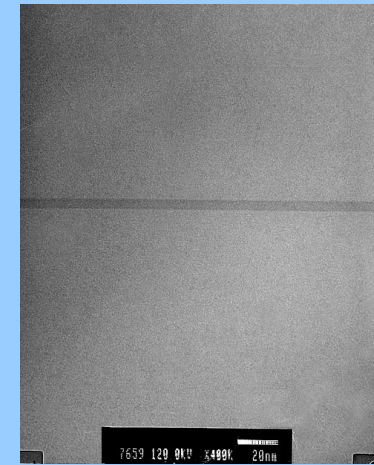
wzrost
wypowy

Frank van
der Merwe

SL 2008/2009



Studnia kwantowa



GaAlAs

GaAs

GaAlAs

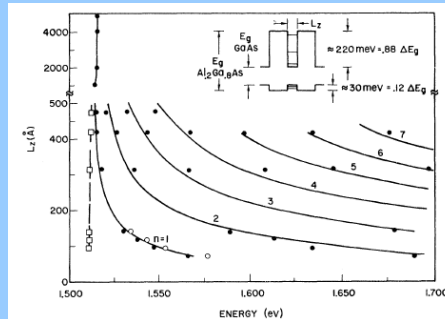
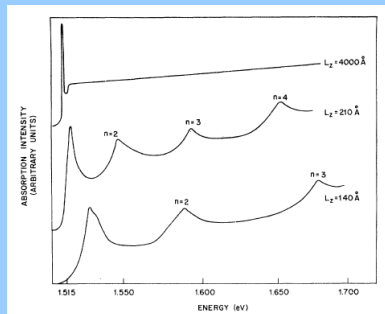
SL 2008/2009



Pierwsze studnie

Quantum States of Confined Carriers in Very Thin $\text{Al}_x\text{Ga}_{1-x}\text{As-GaAs-Al}_x\text{Ga}_{1-x}\text{As}$ Heterostructures

R. Dingle, W. Wiegmann, and C. H. Henry
Bell Laboratories, Murray Hill, New Jersey 07974
(Received 24 June 1974)



SL 2008/2009



Studnia kwantowa

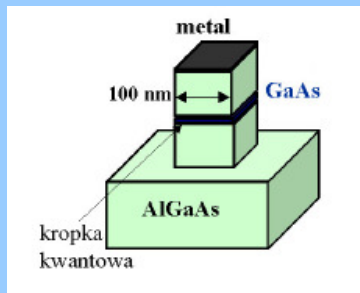
-) wpływ kwantowania przestrzennego na widmo absorpcji i energię emisji ekscytonowej
-) tunelowanie nośników pomiędzy dwiema studniami o różnej szerokości
-) tworzenie się ekscytonu skośnego – wzrost czasu rekombinacji
-) efekt Starka dla ekscytonu w studni kwantowej
-) efekty ekscytonowe: obserwacja bieksytonu i ekscytonów naładowanych (trionów)
-) domieszkowanie modulacyjne – rekordowe ruchliwości
-) wytwarzanie studni profilowanych, w tym trójkątnych i parabolicznych, metodą *digital alloy growth*

SL 2008/2009



Wytwarzanie kropek

litografia przy użyciu wiązki elektronowej + trawienie chemiczne



zaawansowana technologia
defekty na powierzchni –
niska jakość optyczna

SL 2008/2009



Litografia elektronowa

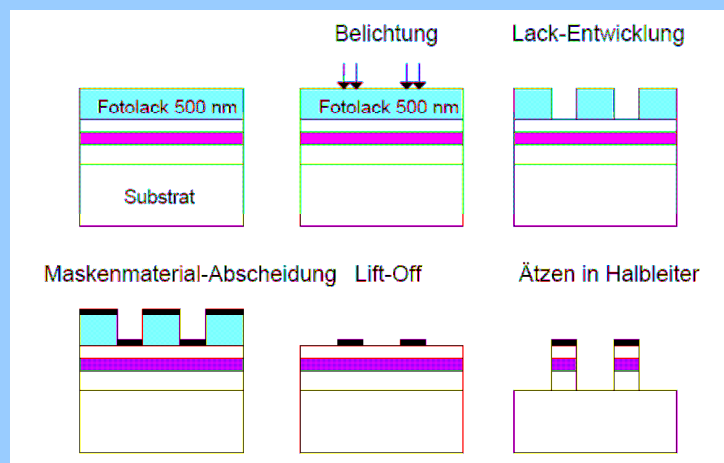
IFPAN



SL 2008/2009



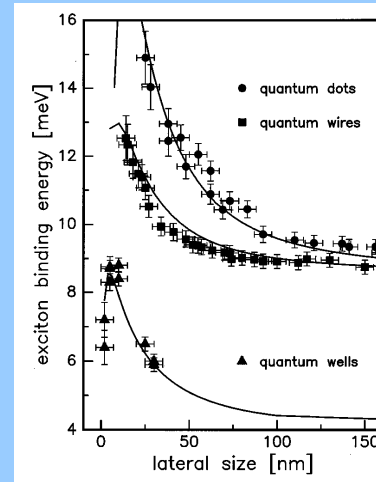
Litografia + trawienie



SL 2008/2009



Energie wiązania ekscytynu



wzrost energii wiązania dla
struktur o obniżonej wymiarowości

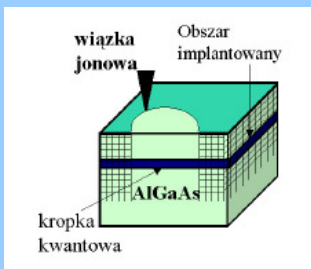
układy niskowymiarowe definiowane
przy pomocy litografii elektronowej
pozwalają na systematyczne pomiary
zależności wielkości fizycznych od
stopnia lokalizacji przestrzennej

SL 2008/2009



Interdyfuzja

selektywna przestrzennie interdyfuzja
selektywność zapewniona przez odpowiednio przygotowaną maskę

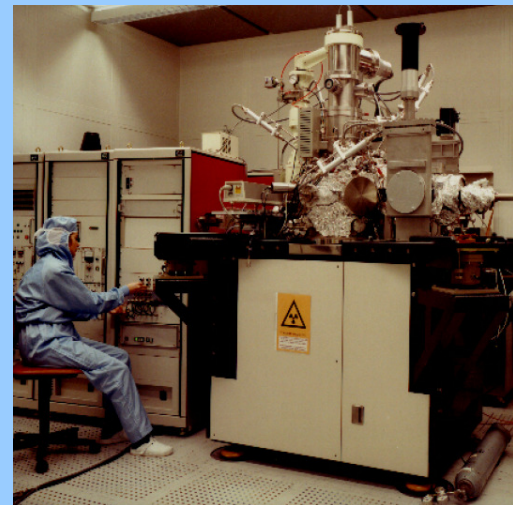


zaawansowana technologia
względnie dobra jakość optyczna
rozmiary ~ kilkaset nm

SL 2008/2009



Wiązka jonów



Uni Würzburg

SL 2008/2009



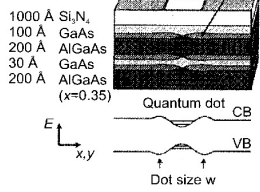
Kropka kwantowa „dyfuzyjna”

VOLUME 69, NUMBER 22 PHYSICAL REVIEW LETTERS 30 NOVEMBER 1992

Photoluminescence from a Single GaAs/AlGaAs Quantum Dot

K. Brunner, U. Bockelmann, G. Abstreiter, M. Walther, G. Böhm, G. Tränkle, and G. Weimann
Walter Schottky Institut, Technische Universität München, D-8046 Garching, Germany
(Received 10 August 1992)

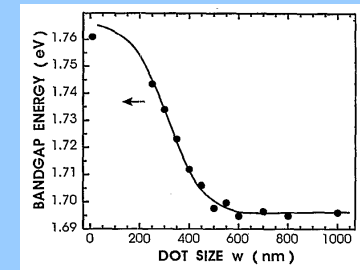
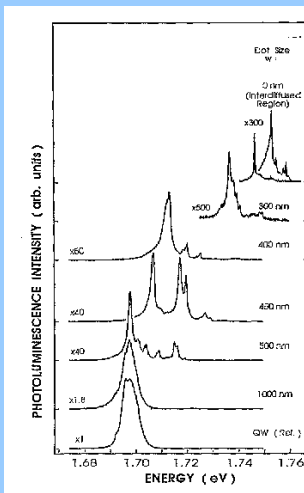
Isolated single quantum dots of different size have been fabricated by laser-induced local interdiffusion of a GaAs/AlGaAs quantum-well structure. Microscopic photoluminescence (PL) reveals a splitting and a blueshift, which depend systematically on dot size. The distinct PL peaks separated in energy by up to 10 meV are states. Complete quantum dot structure cause PL in the slowed energy relaxation. Interdiffused region, Dot barrier, Interdiffusion, Quantum dot, CB, VB, Dot size w.



SL 2008/2009



Kropka kwantowa „dyfuzyjna”



zależność energii emisji od rozmiaru obszaru „kropki”

SL 2008/2009



Wzrost na przełomie

cleaved edge overgrowth – początkowo metoda otrzymywania drutów kwantowych w kształcie litery T

VOLUME 71, NUMBER 24

PHYSICAL REVIEW LETTERS

13 DECEMBER 1993

Lasing from Excitons in Quantum Wires

W. Wegscheider, L. N. Pfeiffer, M. M. Dignam, A. Pinzuk, K. W. West, S. L. McCall, and R. Hull
AT&T Bell Laboratories, Murray Hill, New Jersey 07974

(Received 20 September 1993)

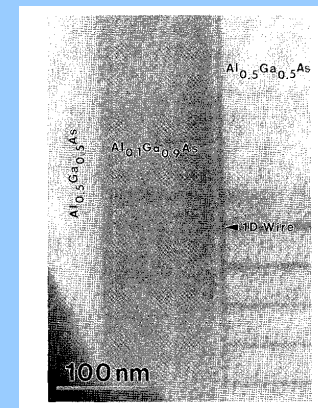
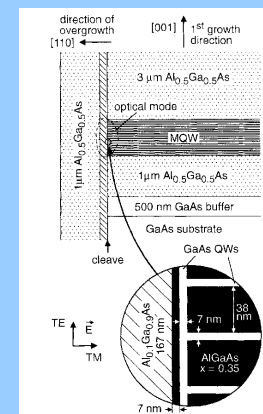
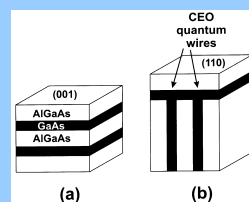
Stimulated optical emission from the lowest exciton state in atomically smooth semiconductor quantum wires is observed for the first time. The wires are formed by the T intersection of two 7 nm GaAs quantum wells. The optical emission wavelength is nearly independent of pump levels. This absence of band-gap renormalization in the laser emission indicates a marked increase in the stability of the exciton in one dimension.

PACS numbers: 78.45.+h, 73.20.Dx, 78.55.Cr

SL 2008/2009



Wzrost na przełomie



kontrola rozmiaru
trudność w dokładnym przełamaniu próbki w warunkach UHV

SL 2008/2009



Kropka kwantowa na przełomie

VOLUME 79, NUMBER 10

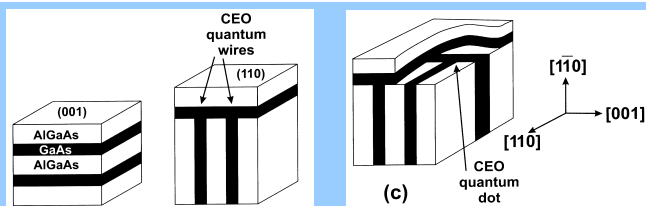
PHYSICAL REVIEW LETTERS

8 SEPTEMBER 1997

Atomically Precise GaAs/AlGaAs Quantum Dots Fabricated by Twofold Cleaved Edge Overgrowth

W. Wegscheider, G. Schedelbeck, G. Abstreiter, M. Rother, and M. Bichler
Walter Schottky Institut, Technische Universität München, Am Coulombwall, D-85748 Garching, Germany
(Received 17 March 1997)

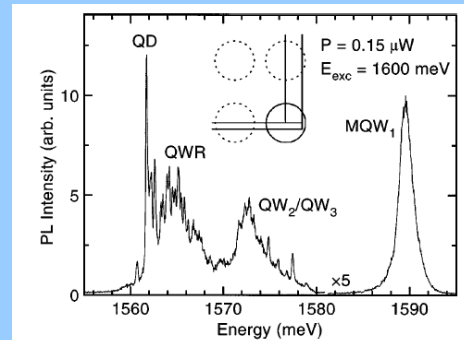
The formation of a $7 \times 7 \times 7 \text{ nm}^3$ size GaAs quantum dot (QD) at the intersection of three quantum wells is demonstrated for the first time. Intense radiative recombination between zero-dimensional states in the QDs is clearly identified by microscopic photoluminescence (μPL). In contrast to the inhomogeneously broadened quantum well and quantum wire signals originating from the complex twofold cleaved edge overgrowth structure, the strongly spatially localized QD response is characterized by spectrally sharp lines in μPL excitation spectra with a linewidth below $70 \mu\text{eV}$. [S0031-9007(97)04043-X]



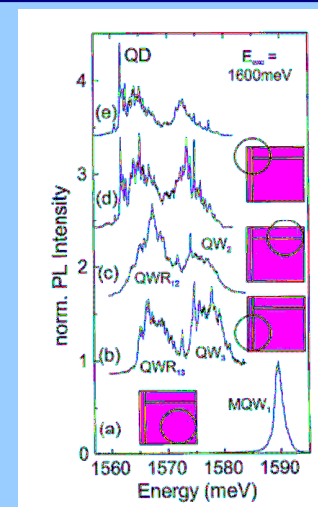
SL 2008/2009



Ekscyton w kropce



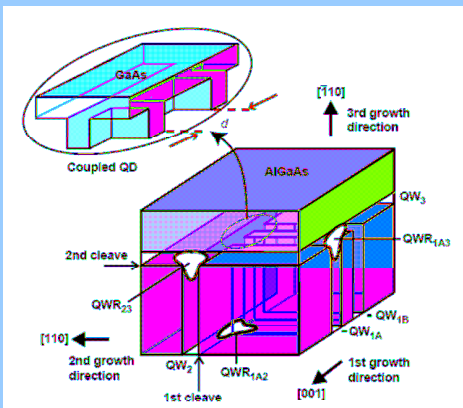
bardzo wąskie linie
ekscytonowe $\Gamma \sim 70 \mu\text{eV}$



SL 2008/2009



Układ dwóch kropek

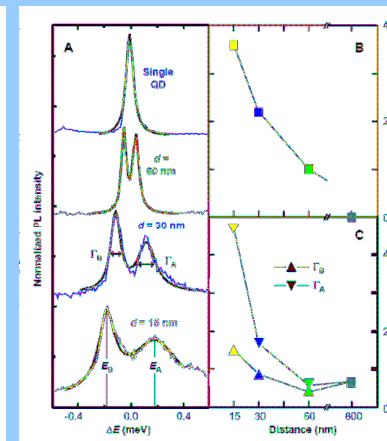
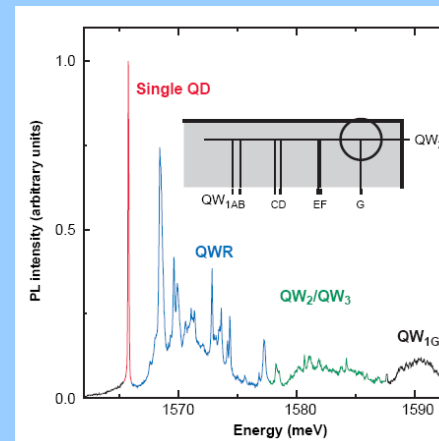


zmiana odległości d między studniami prowadzi do wytworzenia układu podwójnych kropek kwantowych (*quantum dot molecule*)

SL 2008/2009



Układ dwóch kropek

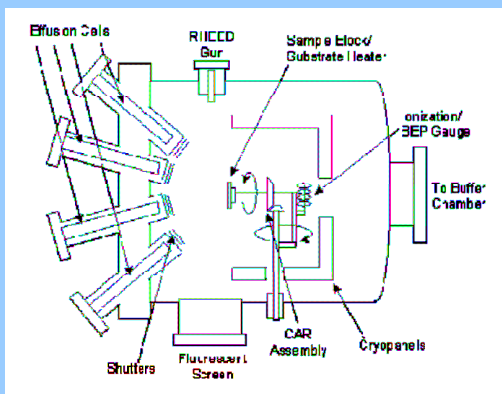


SL 2008/2009



Epitaksja z użyciem masek

epitaksja z wiązek molekularnych (MBE)



strumienie atomów padają na podłoże pod dobrze określonym kątem

SL 2008/2009



Epitaksja z użyciem masek

APPLIED PHYSICS LETTERS

VOLUME 82, NUMBER 24

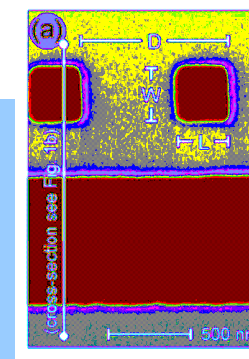
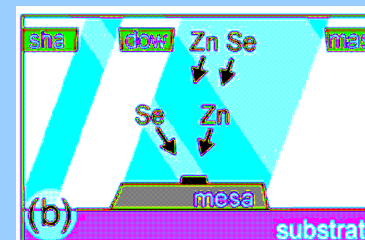
16 JUNE 2003

Controlled self-assembly of semiconductor quantum dots using shadow masks

T. Schallenberg,^{a)} T. Borzenko, G. Schmidt, M. Obert, G. Bacher, C. Schumacher, G. Karczewski,^{b)} and L. W. Molenkamp
Physikalisches Institut, EP III and TP, Universität Würzburg, 97074 Würzburg, Germany

S. Rodt, R. Heitz, and D. Bimberg
Institut für Festkörperphysik, TU Berlin, Hardenbergstr. 36, 10623 Berlin, Germany

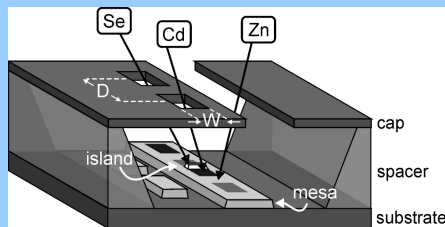
(Received 27 December 2002; accepted 9 April 2003)



SL 2008/2009

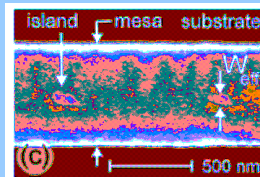


Epitaksja z użyciem masek



sekwencja:
Zn+Se = uformowanie bariery
Cd+Se = uformowanie kropek
Zn+Se = uformowanie bariery

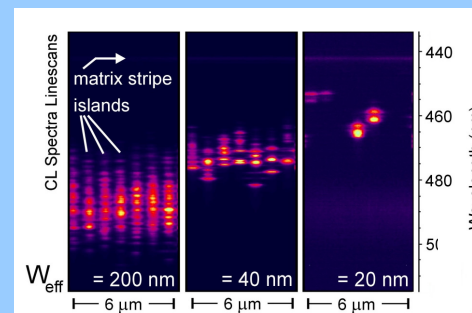
dla niewielkich rozmiarów masek uzyskano niewielkie liczby kropek kwantowych znaczna odległość (~900 nm) pomiędzy poszczególnymi wyspami z kropkami pozwala obserwować pojedyncze kropki



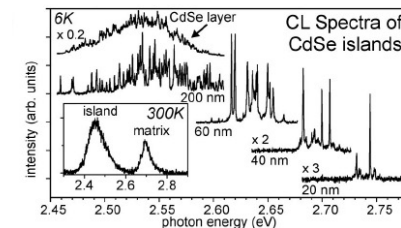
SL 2008/2009



Epitaksja z użyciem masek



pojedyncze kropki kwantowe o wąskich liniach emisyjnych



SL 2008/2009

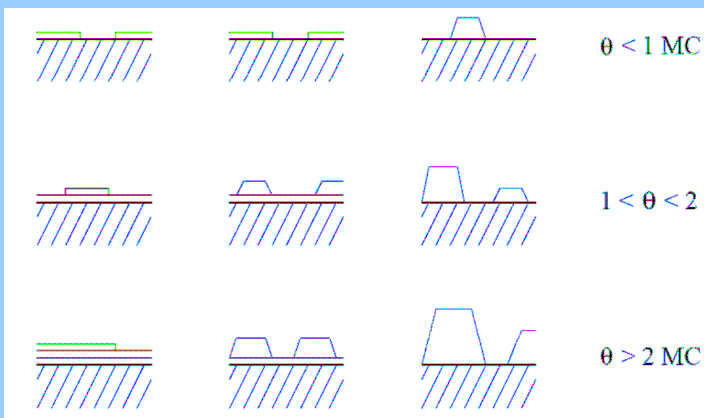


Mody wzrostu

Frank van der Merwe

Stranski-Krastanov

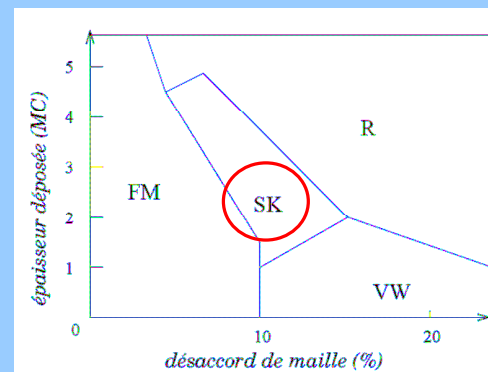
Volmer-Weber



SL 2008/2009



Diagram fazowy



tak powstają kropki kwantowe

Composés	Désaccord de maille (%)
<i>InAs/GaAs</i>	7,2
<i>CdSe/ZnSe</i>	6,8
<i>GaN/AlN</i>	2,4(c); 2,7(h)
<i>Si_{0,7}Ge_{0,3}/Si</i>	1,2
<i>CdTe/ZnTe</i>	6,2

SL 2008/2009



Kropki samorosnące

Self-organized growth of regular nanometer-scale InAs dots on GaAs

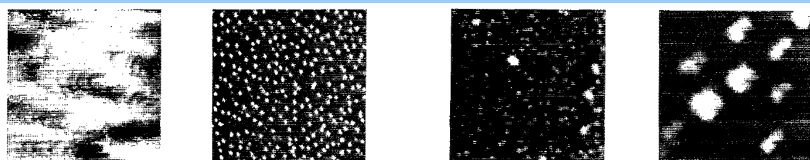
J. M. Moison, F. Houzay, F. Barthe, and L. Leprince
France Telecom, Centre National d'Etudes des Télécommunications Paris B, Laboratoire de Bagneux,³⁾
196 Avenue Henri Raverà B.P. 107 F-92225 Bagneux Cedex, France

E. André and O. Vatel
France Telecom, Centre National d'Etudes des Télécommunications, Centre Norbert Segard, Chemin du
Vieux Chêne BP 98 F-38243 Meylan Cedex, France

(Received 27 April 1993; accepted for publication 1 November 1993)

The deposition of InAs on GaAs proceeds first by two-dimensional (2D) growth and above a 1.75 monolayer coverage by the formation of single-crystal dots on a residual 2D wetting layer. By atomic force microscopy measurements, we show that the first dots formed are in the quantum size range (height 30 Å, half-base 120 Å), that the dispersion on their sizes is remarkably low ($\pm 10\%$), and that they are located fairly regularly (interdot distance 600 Å). Upon further growth, density and shapes do not change but sizes increase up to double values before coalescence occurs.

Self-organized growth in strained structures is then shown to be a simple and efficient way of building regular quantum dots.



(a) $\Theta = 1.7$ ml, $1\mu\text{m} \times 1\mu\text{m} \times 25\text{Å}$ (b) $\Theta = 2.3$ ml, $1\mu\text{m} \times 1\mu\text{m} \times 175\text{Å}$ (c) $\Theta = 3$ ml, $1\mu\text{m} \times 1\mu\text{m} \times 220\text{Å}$ (d) $\Theta = 6$ ml, $1\mu\text{m} \times 1\mu\text{m} \times 550\text{Å}$

SL 2008/2009



Kropki samorosnące

PHYSICAL REVIEW B

VOLUME 58, NUMBER 4

15 JULY 1998-II

Structural and radiative evolution in quantum dots near the In_xGa_{1-x}As/GaAs Stranski-Krastanow transformation

R. Leon*

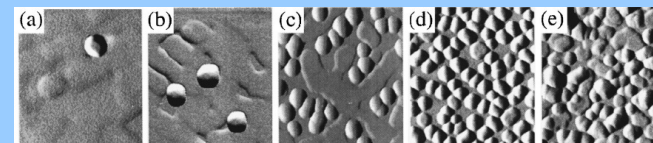
Research School of Physical Sciences, Australian National University, Australian Capital Territory 0200, Australia

S. Fafard

Institute for Microstructural Sciences, National Research Council, Ottawa, Ontario, Canada K1A 0R6

(Received 27 January 1998)

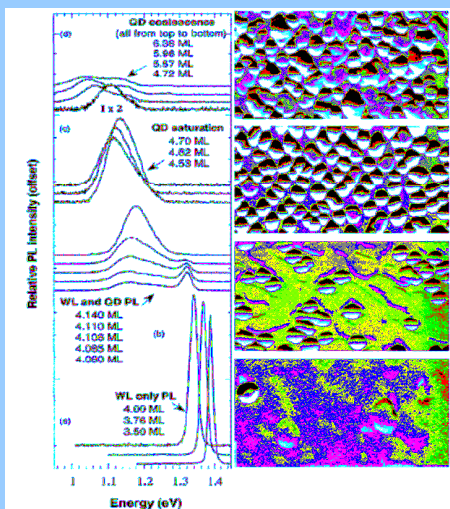
The evolution of Stranski-Krastanow (SK) quantum-dot (QD) formation in ternary In_{0.6}Ga_{0.4}As/GaAs was studied with graded structures grown via organometallic vapor-phase epitaxy. Surface-probe microscopy showed island evolution between 3.5- and 6.5-monolayer (ML) deposition. Island densities increased exponentially (over three decades with 0.2-ML deposition) before saturation ~ 4.7 ML. Photoluminescence (PL) of capped structures show that the wetting-layer PL energy does not shift beyond the onset of the SK transition. PL intensities increased with QD concentration but not in proportion to QD density. After saturation, a sharp drop in PL intensity was observed, which we attribute to island coalescence and incoherent island formation. Excitation power dependence of the luminescence at different stages of QD evolution indicates a concentration dependence of optical saturation in self-forming In_xGa_{1-x}As QD's. [S0163-1829(98)50828-4]



SL 2008/2009



Morfologia a luminescencja



brak emisji z WL
słaba intensywność emisji
z kropek kwantowych

dwie linie:
WL – stała energia, wąska linia
QDs – zmienna energia, szeroka linia

energia przesuwana się ze
wzrostem grubości warstwy
InGaAs

SL 2008/2009



Kropki kwantowe CdSe/ZnSe

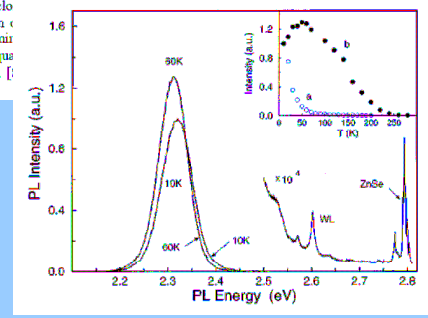
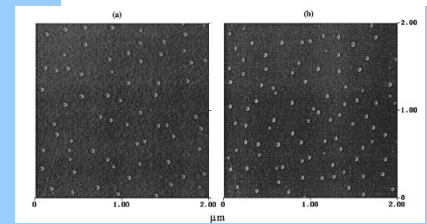
Formation of self-assembling CdSe quantum dots on ZnSe by molecular beam epitaxy

S. H. Xin,²⁾ P. D. Wang,¹⁾ Aie Yin,³⁾ C. Kim,⁴⁾ M. Dobrowolska,⁴⁾ J. L. Merz,²⁾
and J. K. Furdyna¹⁾

University of Notre Dame, Notre Dame, Indiana 46556

(Received 20 June 1996; accepted for publication 16 October 1996)

We report the formation of self-assembling CdSe quantum dots during molecular beam epitaxial growth on ZnSe and ZnMnSe. Atomic force microscopy measurements on specimens with uncapped dots show relatively narrow dot size distributions, with typical dot diameters of 40 ± 5 nm, and with a diameter-to-height ratio consistently very close to 1. Their density was observed to drop by an order of magnitude with increasing growth time, which is evidence of ripening observed for some dots. Photoluminescence localization much stronger than in ZnCdSe/ZnSe quantum dots. © 1996 American Institute of Physics. [1]



SL 2008/2009



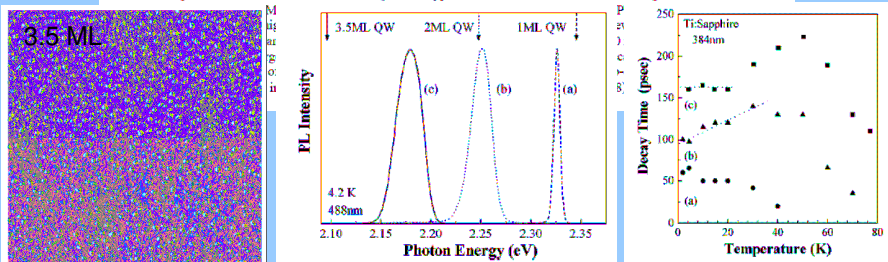
Kropki kwantowe CdTe/ZnTe

APPLIED PHYSICS LETTERS VOLUME 73, NUMBER 25 21 DECEMBER 1998

Zero-dimensional excitonic properties of self-organized quantum dots of CdTe grown by molecular beam epitaxy

Yoshikazu Terai, Shinji Kuroda,^{a)} and Kōki Takita
Institute of Materials Science, University of Tsukuba, Tsukuba, Ibaraki 305-8573, Japan
Tsuyoshi Okuno and Yasuaki Masumoto
Institute of Physics, University of Tsukuba, Tsukuba, Ibaraki 305-8571, Japan
(Received 22 June 1998; accepted for publication 18 October 1998)

The successful growth of self-organized quantum dots (QDs) of CdTe on ZnTe (100) surface by molecular beam epitaxy is reported. Atomic force microscope measurements on the uncapped samples revealed the formation of CdTe QDs with typical dot diameters of 20 ± 2 nm and heights of



SL 2008/2009



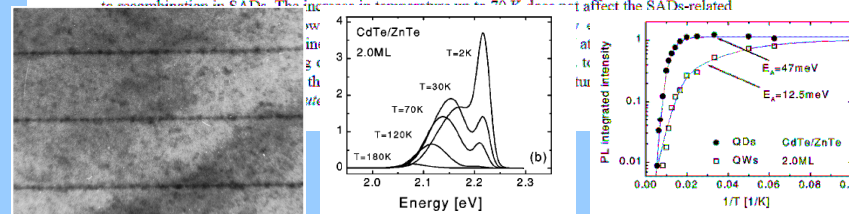
Kropki kwantowe CdTe/ZnTe

APPLIED PHYSICS LETTERS VOLUME 74, NUMBER 20 17 MAY 1999

Photoluminescence study of CdTe/ZnTe self-assembled quantum dots

G. Karczewski,^{a)} S. Maćkowski, M. Kutrowski, T. Wojtowicz, and J. Kossut
Institute of Physics, Polish Academy of Sciences, Al. Lotników 32/46, 02-668 Warsaw, Poland
(Received 19 August 1998; accepted for publication 26 March 1999)

We report on optical properties of CdTe self-assembled quantum dots (SADs) grown by molecular beam epitaxy on ZnTe. Formation of SADs was achieved by deposition of 1.5–2.5 monolayers of CdTe at a substrate temperature of 420 °C and by applying growth interrupts for few seconds in Cd flux. The resulting dots have a typical diameter of 2 nm and a sheet density of 10^{12} cm^{-2} . At $T=2$ K the photoluminescence (PL) spectra consist of two emission lines. The high-energy line originates from excitonic recombination in a wetting layer while the low-energy emission PL band is assigned to recombination in SADs. The increase in temperature to 20 K does not affect the SADs-related



SL 2008/2009



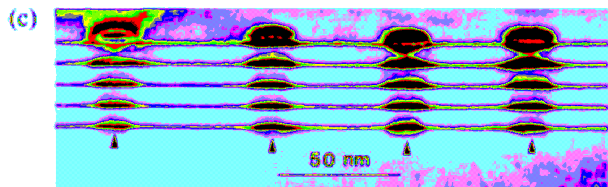
Korelacje przestrzenne

VOLUME 75, NUMBER 13 PHYSICAL REVIEW LETTERS 25 SEPTEMBER 1995

Vertically Self-Organized InAs Quantum Box Islands on GaAs(100)

Qianghua Xie, Anupam Madhukar, Ping Chen, and Nobuhiko P. Kobayashi
Photonic Materials and Devices Laboratory, Departments of Materials Science and Physics, University of Southern California, Los Angeles, California 90089-0241
(Received 6 April 1995)

Coherent InAs islands separated by GaAs spacer layers are shown to exhibit self-organized growth along the vertical (i.e., growth) direction. The driving force for such vertically self-organized growth is shown to be the interacting strain fields induced by the islands which give rise to a preferred direction for In migration. A model analysis accounting for the mechanochemical surface diffusion gives an island average size and average separation dependent characteristic spacer layer thickness z_0 below which a vertically self-organized growth occurs.

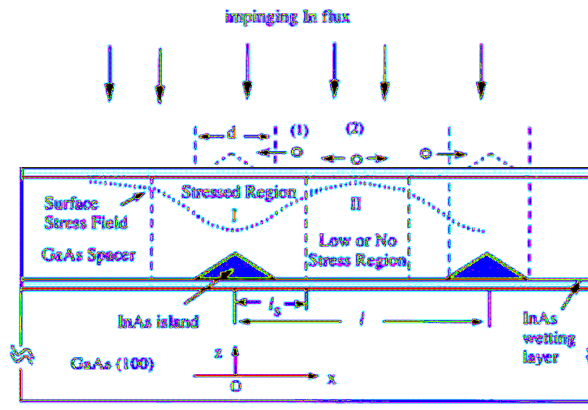


$\Delta=36\text{ML}$

SL 2008/2009



Korelacje przestrzenne



brak informacji optycznej

SL 2008/2009



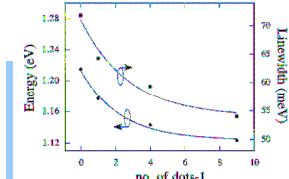
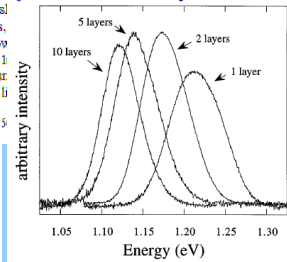
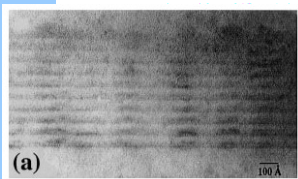
Korelacje przestrzenne

VOLUME 76, NUMBER 6 PHYSICAL REVIEW LETTERS 5 FEBRUARY 1996

Vertically Aligned and Electronically Coupled Growth Induced InAs Islands in GaAs

G. S. Solomon,¹ J. A. Trezza,¹ A. F. Marshall,² and J. S. Harris, Jr.¹
¹Solid State Laboratories, Stanford University, Stanford, California 94305-4055
²Center for Materials Research, Stanford University, Stanford, California 94305
(Received 5 June 1995)

Multilayer, vertically coupled, quantum dot structures are investigated using layers composed of InAs islands grown by molecular beam epitaxy in the Stranski-Krastanov growth mode. Single, 2, 5, and 10 InAs island layers are investigated in which the 40 Å high InAs islands are separated by 56 Å GaAs spacer layers. The InAs islands are vertically aligned in different layers. The peak shift of 92 meV to lower energy in different layers is attributed to electronic coupling between islands in the vertical direction.



SL 2008/2009



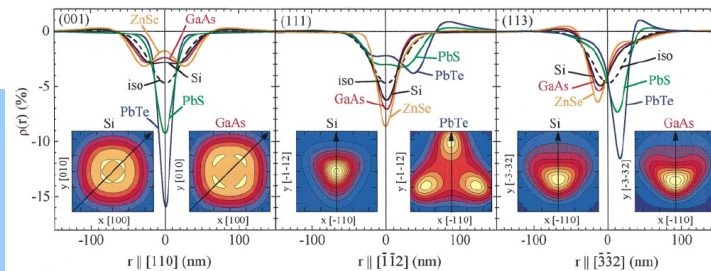
Kryształ z kropek

VOLUME 83, NUMBER 2 PHYSICAL REVIEW LETTERS 12 JULY 1999

Strain Induced Vertical and Lateral Correlations in Quantum Dot Superlattices

V. Holy,^{1,2} G. Springholz,^{1,*} M. Pinczolits,¹ and G. Bauer¹
¹Institut fuer Halbleiterphysik, Johannes Kepler Universität, A-4040 Linz, Austria
²Laboratory for Thin Films and Nanostructures, Masaryk University, 61137 Brno, Czech Republic
(Received 17 February 1999)

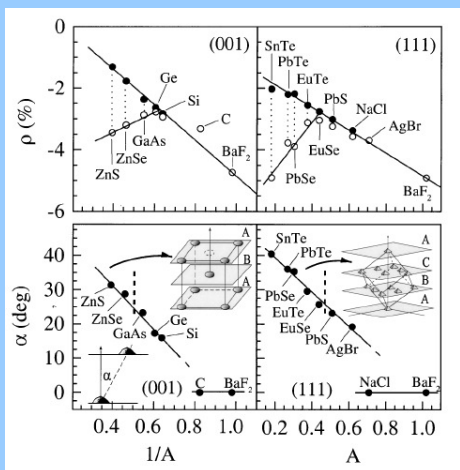
Vertical and lateral ordering of quantum dots in superlattices is shown to be determined by the elastic



SL 2008/2009



Kryształ z kropek



SL 2008/2009

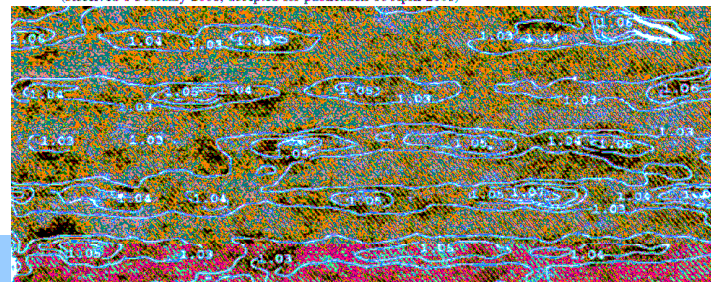


Kryształ z kropek

APPLIED PHYSICS LETTERS VOLUME 78, NUMBER 24 11 JUNE 2001

Structural and optical evidence of island correlation in CdTe/ZnTe superlattices

S. Maćkowski,^(*) G. Karczewski, T. Wojtowicz, J. Kossut, S. Kret, A. Szczepańska, and P. Dłużewski
Institute of Physics, Polish Academy of Sciences, Al. Lotników 32/46, 02-668 Warszawa, Poland
G. Prechtl and W. Heiss
Institut für Festkörperphysik, Universität Linz, Altenberger Straße 69, 4040 Linz, Austria
(Received 1 February 2001; accepted for publication 18 April 2001)



SL 2008/2009